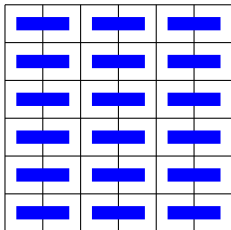
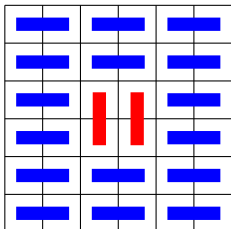


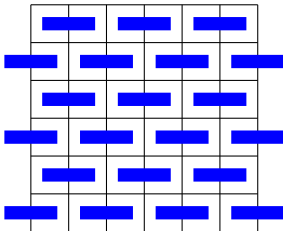
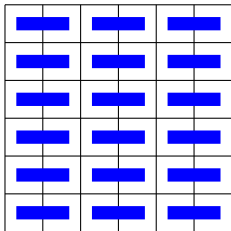
# Un semplice esempio



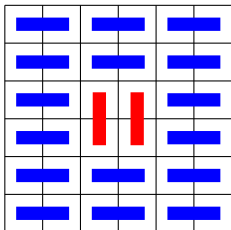
Difetto locale:



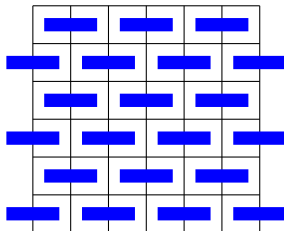
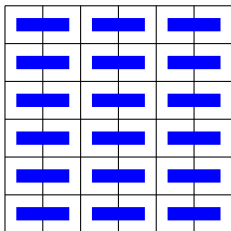
# Un semplice esempio



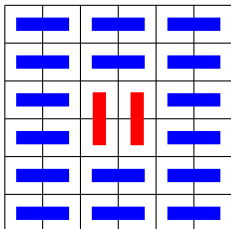
Difetto locale:



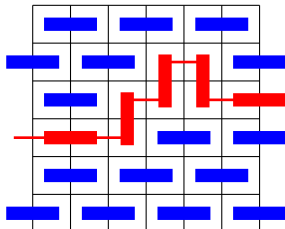
# Un semplice esempio



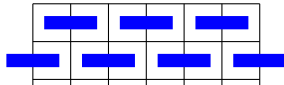
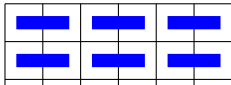
Difetto locale:



Linea di difetti:



# Un semplice esempio

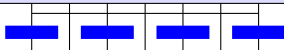
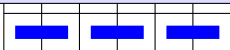


Vincoli di tipo geometrico  
possono indurre effetti a lungo raggio

Opportune condizioni al contorno  
possono modificare la termodinamica

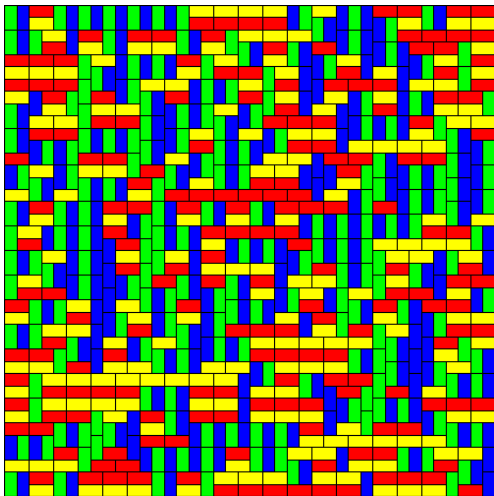
Parametri d'ordine, energia libera, ecc.  
possono acquisire dipendenza spaziale

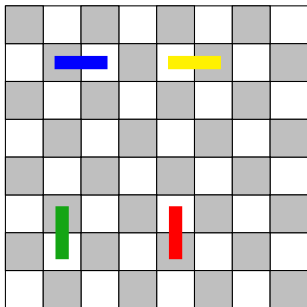
Possibilità di separazione spaziale tra fasi



# Tasselazione con domino di una regione quadrata

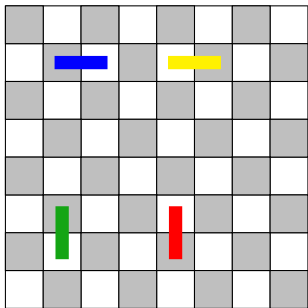
domino := 'piastrella'  $2 \times 1$





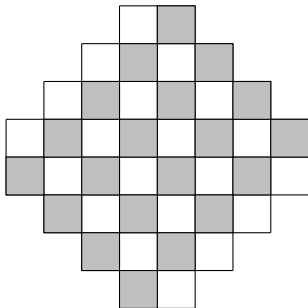
quadrato  $N \times N$

( $N = 8$ )



quadrato  $N \times N$

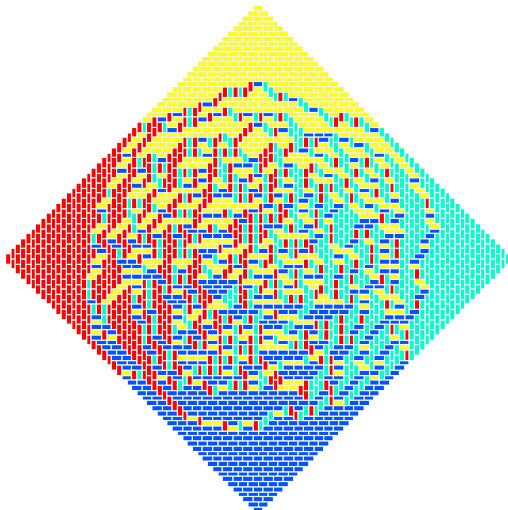
( $N = 8$ )



Diamante Azteco di ordine  $N$

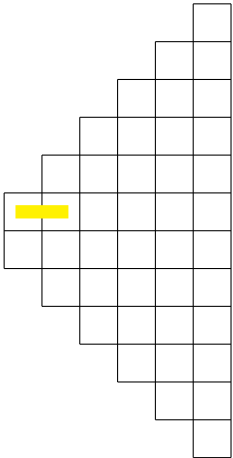
( $N = 4$ )

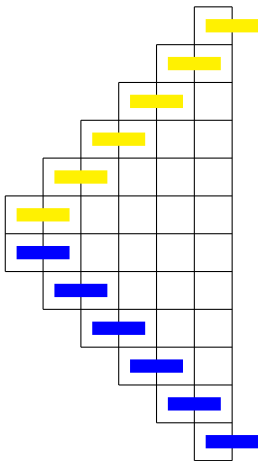
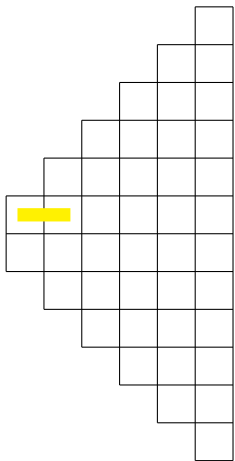
# Tassellatura con domino di un diamante azteco

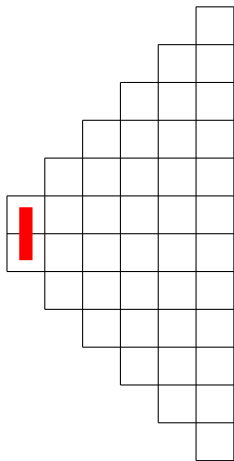
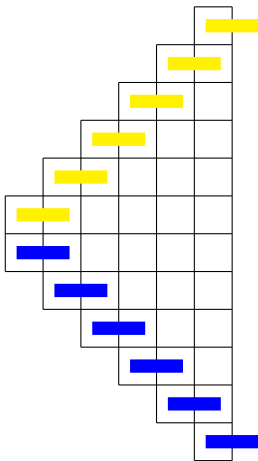
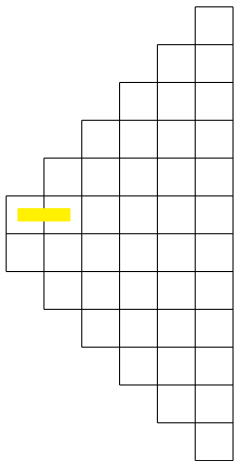


$N = 64$

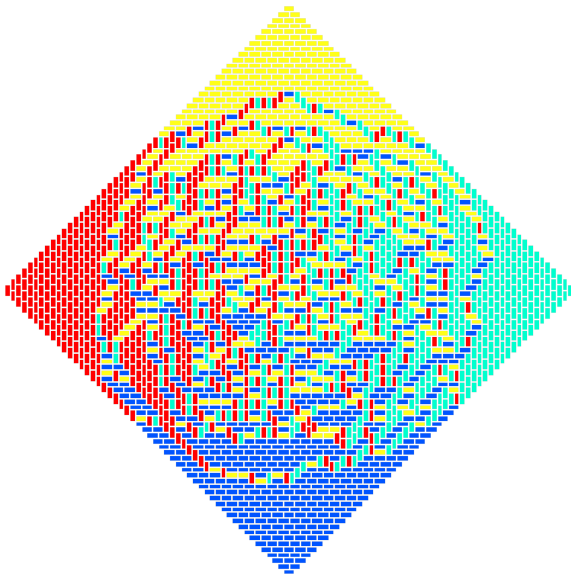
<http://faculty.uml.edu/jpropp/>







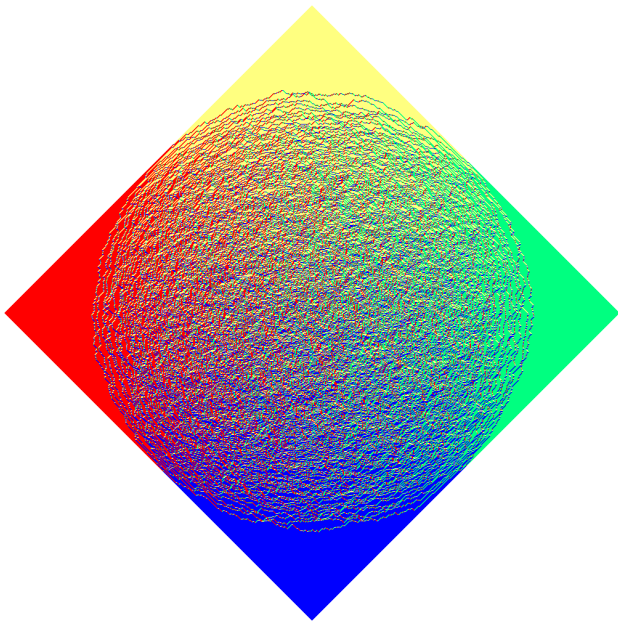
# Tassellatura con domino di un diamante azteco



$N = 64$

<http://faculty.uml.edu/jpropp/>

# Tassellatura con domino di un diamante azteco



$N = 500$

# Tassellatura con domino di un diamante azteco

## Il Teorema del 'Cerchio Artico'

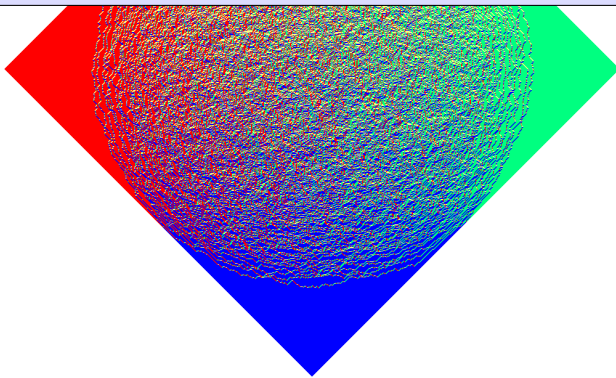
[Jockush-Shor-Propp'95]

$\forall \varepsilon > 0, \exists N$  tale che per 'quasi tutte' le tassellature di  $AD(N)$  (i.e., con probabilità  $P > 1 - \varepsilon$ ) si ha una regione disordinata la cui frontiera è uniformemente a distanza minore di  $\varepsilon N$  dalla circonferenza inscritta, di raggio  $N/\sqrt{2}$ .

$N = 500$

# Tassellatura con domino di un diamante azteco

- ▶ Fluttuazioni dell'interfaccia:
  - ▶ fluttuazioni di ordine  $\propto N^{1/3}$  [Johansson'00]
  - ▶ le fluttuazioni lungo la diagonale sono governate dalla distribuzione di Tracy-Widom [Johansson'02]
  - ▶ Interpretando  $N$  come un 'tempo'. il modello può essere visto come un 'processo di crescita', che, per grandi tempi risulta descritto dalla classe di universalità KPZ universality class

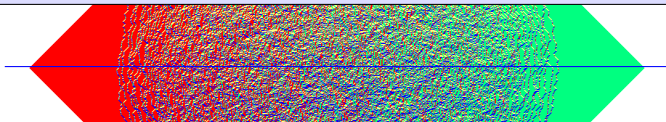


$N = 500$

# Tassellatura con domino di un diamante azteco

- ▶ Fluttuazioni dell'interfaccia:

- ▶ fluttuazioni di ordine  $\propto N^{1/3}$  [Johansson'00]
- ▶ le fluttuazioni lungo la diagonale sono governate dalla distribuzione di Tracy-Widom [Johansson'02]
- ▶ Interpretando  $N$  come un 'tempo'. il modello può essere visto come un 'processo di crescita', che, per grandi tempi risulta descritto dalla classe di universalità KPZ universality class

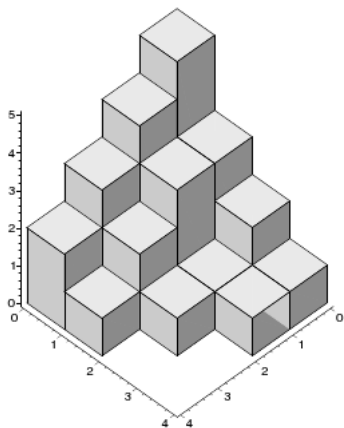


- ▶ Modelli di matrici random (log-gas discreti)

- ▶ La densità di domino, per es. **rossi**, lungo la diagonale orizzontale può essere scritta come densità di particelle di un opportuno log-gas discreto.

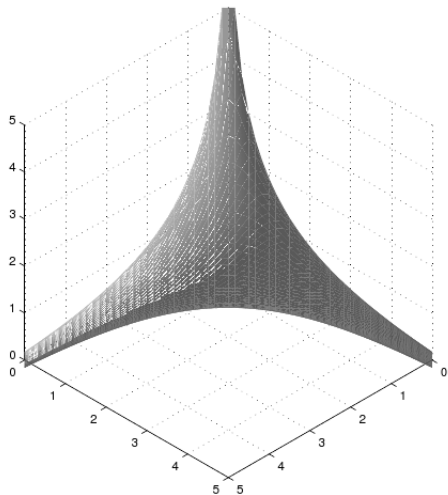
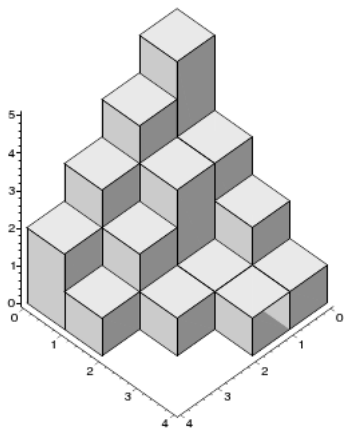
# Partizioni piane

(estensione 2-d delle partizioni degli interi, alias diagrammi di Young 3-d)



# Partizioni piane

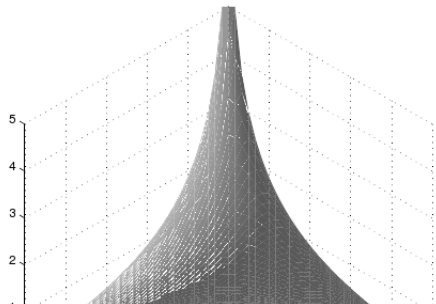
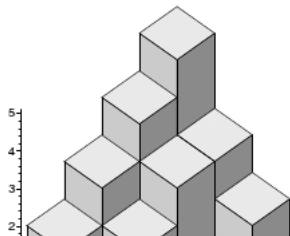
(estensione 2-d delle partizioni degli interi, alias diagrammi di Young 3-d)



- ▶ 'Corner melting' di un cristallo [Ferrari-Spohn'02]
- ▶ Partizioni piane [Cerf-Kenyon'01] [Dobrushin-Kotecky-Shlosman'01]  
[Okounkov-Reshetikhin'01]

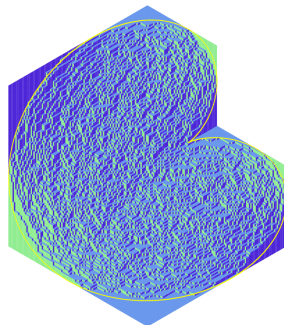
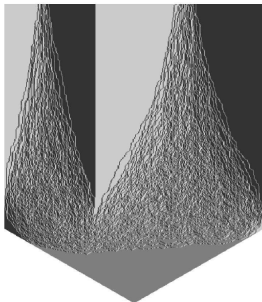
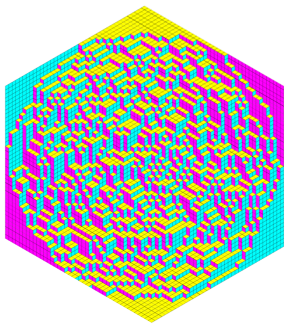
# Partizioni piane

(estensione 2-d delle partizioni degli interi, alias diagrammi di Young 3-d)



- ▶ equivalenti a tassellazioni con rombi di un reticolo triangolare o anche a dimeri su reticolo esagonale
- ▶ equivalenti a superfici discrete aleatorie
  - ▶ Fatto non banale: nel limite di scaling, la media statistica di queste superfici discrete tende ad una superficie continua 2-d, la 'forma limite'.
- ▶ Le fluttuazioni rispetto alla forma limite sono descritte dal campo conforme bosonico libero. [Kenyon'01]

# Numerosi altri esempi dello stesso fenomeno



Boxed plane partitions  
[Cohn-Larsen-Propp'98]

Skewed plane partitions  
[Okounkov-Reshetikhin'05]

Rhombi tiling  
of generic domains  
[Kenyon-Okounkov'05]

Di fatto tutti questi modelli sono varianti del nostro buon vecchio modello di 'dimeri su grafi regolari piani bipartiti', alias 'non-intersecting lattice path', alias fermioni liberi su reticolo.

Esiste una bellissima teoria unificata per il limite di scaling di tutti questi modelli, con prodonde implicazioni in geometria algebrica e combinatoria algebrica. [Kenyon-Okounkov-Sheffield'05-'07]

## Domanda: e se considerassimo fermioni interagenti?

- ▶ Quanto sopravvive delle proprietà universali precedenti?
- ▶ Eventualmente, come sono modificate?
- ▶ E, tra l'altro, che tipo di interazione dovremmo considerare?

## Domanda: e se considerassimo fermioni interagenti?

- ▶ Quanto sopravvive delle proprietà universali precedenti?
- ▶ Eventualmente, come sono modificate?
- ▶ E, tra l'altro, che tipo di interazione dovremmo considerare?

Torniamo al diamante azteco:

Se assegnamo un peso di Boltzmann  $e^\delta$   
per ogni coppia di dimeri adiacenti paralleli:



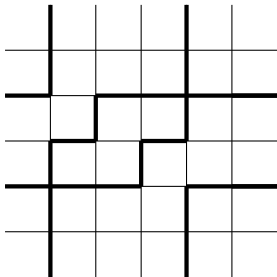
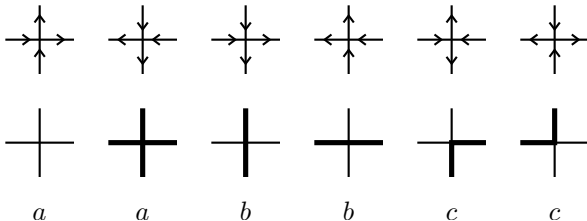
otteniamo un sistema integrabile [Kuperberg'96],

il 'modello a sei vertici' con parametro di anisotropia  $\Delta = 2(1 - e^\delta)$ .

Il diamante azteco diventa si traduce in questo modello in una particolare scelta di condizioni al contorno di tipo fisso, dette di 'Domain Wall'.

# Il modello a sei vertici

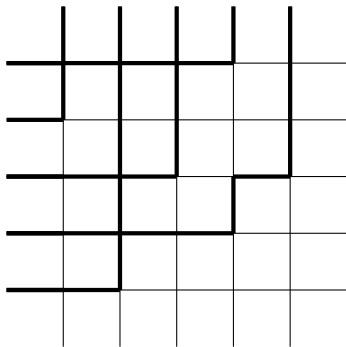
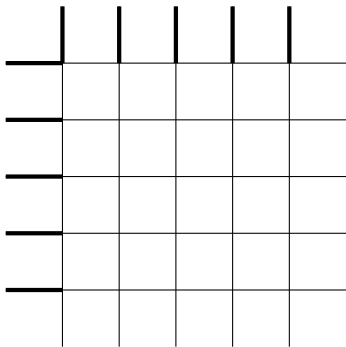
[Lieb'67] [Sutherland'67]



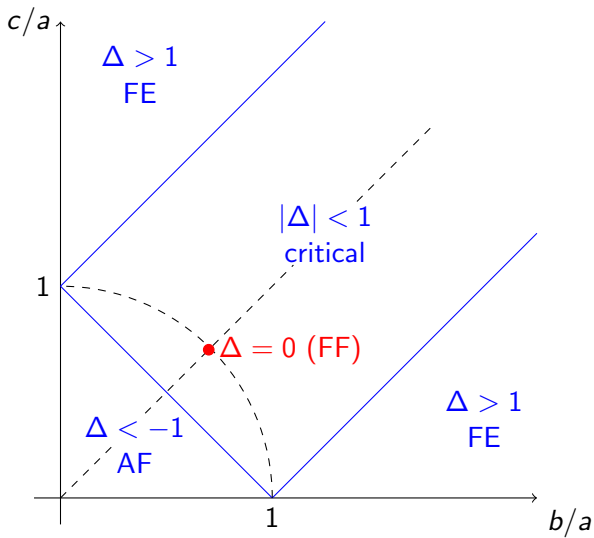
$$\Delta = \frac{a^2 + b^2 - c^2}{2ab}$$

# Le condizioni al contorno di tipo 'Domain Wall'

[Korepin'82, Izergin'87]



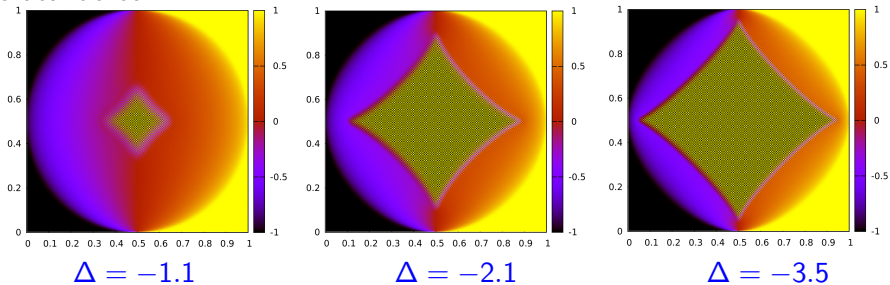
# Il diagramma di fase



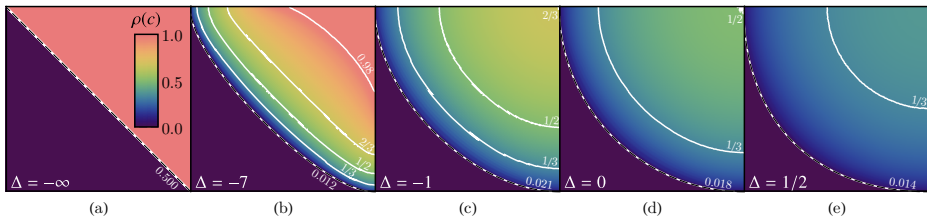
Quando  $\Delta \neq 0$ , cosa possiamo dire su:

- ▶ Curve artiche?
- ▶ Domini di forma generica?
- ▶ Forme limite?
- ▶ Fluttuazioni intorno alle forme limite?
- ▶ Fluttuazioni dell'interfaccia?

Giocando con  $\Delta$ :



[Cugliandolo, Gonnella, Pellizzola'15]



[Keesman-Lamers'18]

## $\Delta \neq 0$ : cosa sappiamo?

- ▶ Curve artiche (DWBC)?
- ▶ Domini di forma generica?
- ▶ Forme limite?
- ▶ Fluttuazioni intorno alle forme limite?
- ▶ Fluttuazioni dell'interfaccia?

# $\Delta \neq 0$ : curve artiche (DWBC)

[FC-Pronko'09-'11]

$$\begin{aligned}x &= F\left(\frac{\pi}{2} - \eta - \zeta\right) \\y &= F(\zeta)\end{aligned} \quad \zeta \in \left[0, \frac{\pi}{2} - \eta\right]$$

con

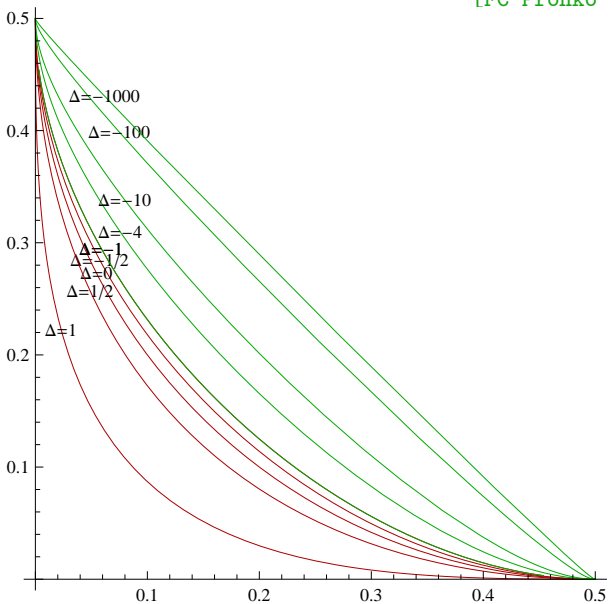
$$\begin{aligned}F(\zeta) &= \frac{\sin^2 \zeta \sin^2(\zeta + 2\eta) \cos(\zeta - \eta) \cos(\zeta + \eta)}{\sin 2\eta \cos \eta [\cos(\zeta - \eta) \sin \zeta + \cos(\zeta + \eta) \sin(\zeta + 2\eta)]} \\&\times \left\{ \frac{\cos^2 \eta}{\sin^2 \zeta \cos(\zeta + \eta) \cos(\zeta - \eta)} \right. \\&\quad - \frac{\sin 2\zeta}{\cos(\zeta - \eta) \cos(\zeta + \eta)} \frac{\alpha \sin \alpha(\frac{\pi}{2} - \eta)}{\sin \alpha \zeta \sin \alpha(\zeta + \frac{\pi}{2} - \eta)} \\&\quad \left. - \frac{\alpha^2 \sin \alpha(2\zeta + \frac{\pi}{2} - \eta) \sin \alpha(\frac{\pi}{2} - \eta)}{\sin^2 \alpha \zeta \sin^2 \alpha(\zeta + \frac{\pi}{2} - \eta)} \right\}.\end{aligned}$$

$$\text{NB: } \alpha = \frac{\pi}{\pi - \arccos \Delta}, \quad \eta = \frac{1}{2} \arccos \Delta, \quad a=b$$

# $\Delta \neq 0$ : curve artiche (DWBC)

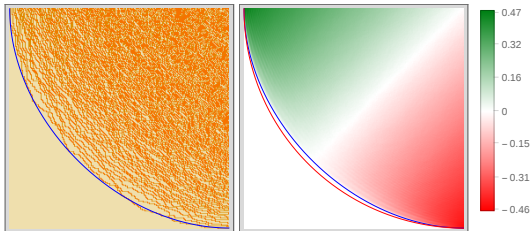
[FC-Pronko'09]

[FC-Pronko-ZinnJustin'10]

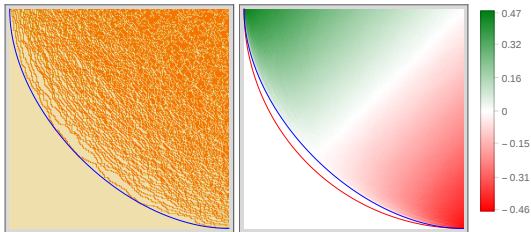


$\Delta \neq 0$ : curve artiche (DWBC)

$$\Delta = -1/2$$



$$\Delta = -1$$

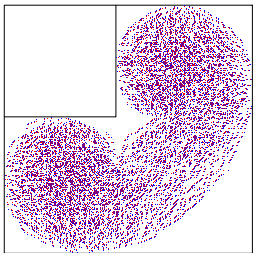


[Lyberg, Korepin, Viti '18]

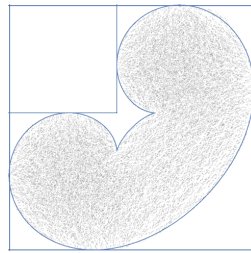
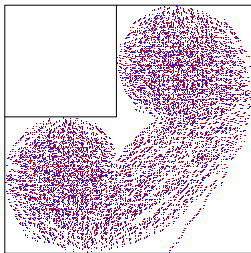
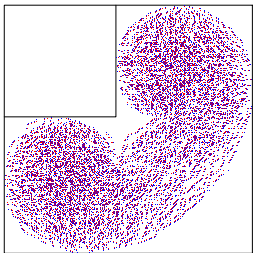
$\Delta \neq 0$ : cosa sappiamo?

- ▶ Curve artiche (DWBC)?
- ▶ Domini di forma generica?
- ▶ Forme limite?
- ▶ Fluttuazioni intorno alle forme limite?
- ▶ Fluttuazioni dell'interfaccia?

$\Delta \neq 0$ : domini di forma generica



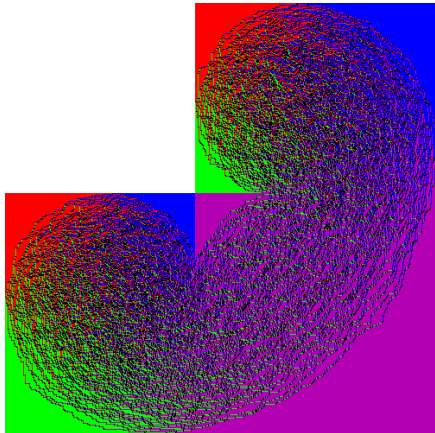
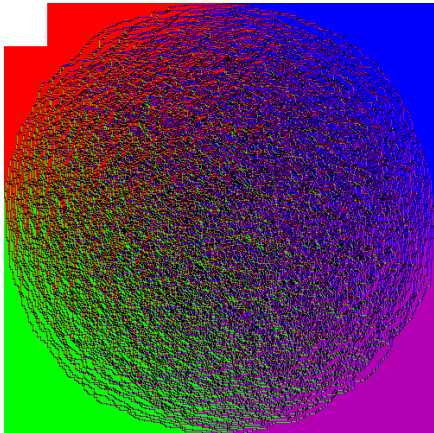
## $\Delta \neq 0$ : domini di forma generica



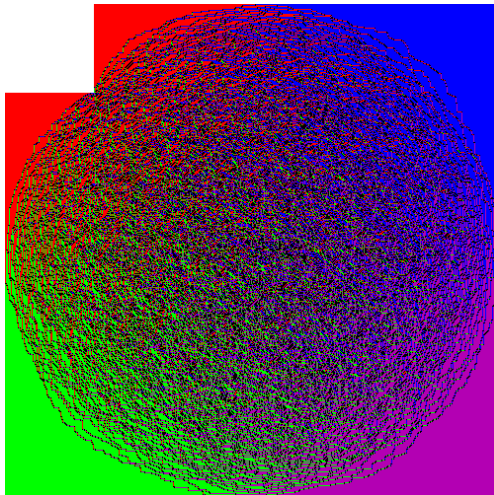
Un ricetta generale, detta ‘**Tangent Method**’ [FC-Sportiello’16] permette di terminare la curva artica, evidentemente una quantità **di bulk**, a partire di un’opportuna funzione di correlazione **di bordo**, generalmente molto più facile da calcolare.

Applicata con successo in svariate situazioni [Di Francesco-Guitter’17-’21] [Debyn-Granet-Ruelle’18-’21] [Corteel-Keating-Nicoletti’19] [Aggarwal’20]

# Una transizione di fase indotta dalla geometria



# Una transizione di fase indotta dalla geometria



Il calcolo esatto dell'energia libera in funzione del parametro di controllo  $R/N$  mostra una **transizione di fase del 3° ordine**, alla Douglas-Kazakov

## $\Delta \neq 0$ : cosa sappiamo?

- ▶ Curve artiche (DWBC)?
- ▶ Domini di forma generica?
- ▶ Forme limite?
- ▶ Fluttuazioni intorno alle forme limite?
- ▶ Fluttuazioni dell'interfaccia?

## $\Delta \neq 0$ : forme limite

Vari risultati esatti, ma solamente per  $\Delta > 1$

[Reshetikhin-Sridhar'16-'16]

[Borodin-Corwin-Gorin-Petrov'14-'19]

Completa conoscenza della forma limite,  
ma per il solo modello a cinque vertici

[de Gier-Kenyon-Watson'19]

[Kenyon-Prause'20-'21]

$\Delta \neq 0$ : cosa sappiamo?

- ▶ Curve artiche (DWBC)?
- ▶ Domini di forma generica?
- ▶ Forme limite?
- ▶ Fluttuazioni intorno alle forme limite?
- ▶ Fluttuazioni dell'interfaccia?

## $\Delta \neq 0$ : Fluttuazioni intorno alla forma limite

Un'espansione perturbativa rigorosa, a piccoli  $\Delta$  mostra che le fluttuazioni della funzione altezza sono ancora descritte dal **campo bosonico conforme**.

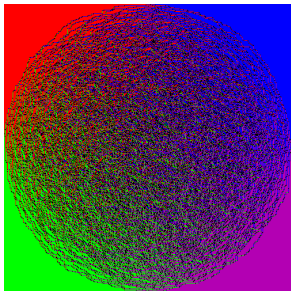
È stata anche ottenuta una valutazione perturbativa rigorosa della funzione di correlazione dimero-dimero.

[Giuliani-Mastropietro-Toninelli'14-'19]

$\Delta \neq 0$ : cosa sappiamo?

- ▶ Curve artiche (DWBC)?
- ▶ Domini di forma generica?
- ▶ Forme limite?
- ▶ Fluttuazioni intorno alle forme limite?
- ▶ Fluttuazioni dell'interfaccia?

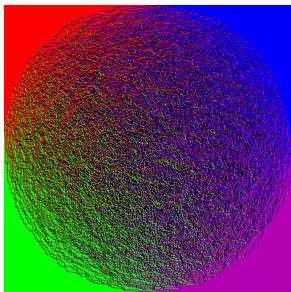
## $\Delta \neq 0$ : fluttuazioni dell'interfaccia



Da studi numerici recenti:  
lo scaling di Tracy-Widom  
è osservato con alta precisione

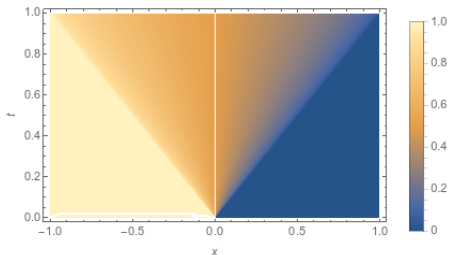
[Prauhofer-Spohn, unpub.]

## $\Delta \neq 0$ : fluttuazioni dell'interfaccia



Da studi numerici recenti:  
lo scaling di Tracy-Widom  
è osservato con alta precisione

[Prauhofer-Spohn, unpub.]



Predizione analitica:  
nel quantum quench della  
catena di spin XXZ  
lo scaling di T-W è distrutto

[Collura-De Luca-Viti'19]

$\Delta \neq 0$ : cosa sappiamo?

Importanti progressi nel corso dell'ultimo decade,  
ma ancora moltissime questioni aperte.

Obiettivo ultimo:  
valutazione della funzione a un punto in forma chiusa.

Problema difficile:  
si ricordi che l'invarianza per traslazioni è rotta.

Mai perdere la speranza!